

Comparação entre Dois Modelos Constitutivos para a Simulação do Confinamento de Concretos de Alta Resistência

RENATA REIS DE JESUS¹, AMÉRICO CAMPOS FILHO², PAULA MANICA LAZZARI³

¹ UFRGS / PPGEC/ renata.reis1293@hotmail.com ² UFRGS / PPGEC/ americo.campos.filho@gmail.com ³ UFRGS / PPGEC/ p.manica.lazzari@gmail.com

Resumo

O presente trabalho apresenta a validação de modelos constitutivos para a representação do comportamento de concretos de diferentes resistências à compressão, com e sem confinamento lateral ativo. Para isso, foram utilizados como referência os resultados experimentais de Attard e Setunge (1996), que disponibilizaram curvas completas tensão—deformação sob compressão uniaxial e triaxial, abrangendo concretos com resistência à compressão entre 60 e 132 MPa e níveis de confinamento entre 1 e 20 MPa. A modelagem numérica foi conduzida no ANSYS (APDL), considerando dois modelos constitutivos: um modelo elastoplástico, com base no Código Modelo da *fib* 2010, conforme Lazzari (2016), utilizando a sub-rotina customizada USERMAT, e o modelo de Drucker—Prager (DP). O procedimento de validação envolveu a aplicação de pressões laterais constantes e carregamento axial controlado por deslocamento, permitindo alcançar a região pós-pico das curvas numéricas. Os resultados demonstraram que o modelo customizado, utilizando a USERMAT, apresentou maior proximidade em relação aos valores experimentais de carga última, especialmente em concretos de alta resistência, enquanto o modelo DP exibiu maior dispersão e tendência a superestimar ou subestimar a resistência. Conclui-se que o USERMAT oferece melhor capacidade de representar o comportamento não linear do concreto.

Palavras-chave

Concreto de alta resistência; confinamento lateral; ANSYS APDL; modelo constitutivo; USERMAT; Drucker–Prager.

Introdução

A validação do modelo numérico foi realizada com base na investigação experimental de Attard e Setunge (1996), que apresentou curvas completas tensão—deformação para concretos sob compressão uniaxial e sob confinamento lateral ativo em célula triaxial. O programa experimental contemplou concretos com resistências à compressão uniaxial (fc) de 60, 96, 100, 110, 118, 120, 126 e 132 MPa, avaliando o efeito de pressões de confinamento típicas de 5, 10 e 15 MPa, além de casos adicionais em 1 MPa e 20 MPa. As curvas obtidas se estenderam até a região pós-pico, permitindo caracterizar o amolecimento e a ductilidade sob diferentes níveis de confinamento. O estudo teve dois objetivos principais: (i) fornecer dados experimentais completos para calibração e validação de modelos constitutivos; e (ii) propor um modelo analítico capaz de representar, com parâmetros físicos, o comportamento de concretos não confinados e confinados em ampla faixa de resistências, considerando a influência do nível de confinamento sobre a tensão de pico e a deformação correspondente.



A Tabela 1 apresenta os valores de pico de tensão (f₀) e as deformações correspondentes (ε₀).

Tabela 1 – Propriedades mecânicas dos concretos estudados.

Mistura	f _c (MPa)	f ₀ (MPa)	f _r (kN/cm ²)	$\epsilon_{ m o}$	ε _c	E _c (MPa)	
	120	125	0,05	0,0026			
	120	128	0,1	0,0029			
a D	120	165	0,5	0,0036	0.002	55.7	
aR	120	192	1	0,005	0,003	55,7	
	120	220	1,5	0,0069			
	120	234	2	0,008	1		
	120	168	0,5	0,0042			
bR	120	187	1	0,0048	0,0028	52,8	
	120	211	1,5	0,0057	1		
	110	150	0,5	0,0035			
cR	110	175	1	0,004	0,0028	55,4	
	110	192	1,5	0,0046	1		
	100	106	0,1	0,0021			
1D	100	121	0,5	0,0036	1	52.0	
dR	100	144	1	0,0047	0,0027	52,9	
	100	165	1,5	0,0058	1		
	132	180	0,5	0,005		49,3	
aB	132	200	1	0,0058	0,0034		
	132	222	1,5	0,0078	1		
	126	162	0,5	0,005			
dB	126	186	1	0,0071	0,0034	49,4	
	126	211	1,5	0,0089	1		
	118	154	0,5	0,0038			
аН	118	173	1	0,0049	0,0028	57,8	
	dB 126 186 1 126 211 1, 118 154 0, aH 118 173 1 118 201 1,	1,5	0,0062				
	110	153	0,5	0,0041			
ЬН	110	164	1	0,0055	0,0028	58,7	
	110	185	1,5	0,0059	0,0028 0,0027 0,0034 0,0028 0,0028 0,0028		
	100	127	0,5	0,0039			
cН	100	153	1	0,0052	0,0026	54,6	
	100	169	1,5	0,0075		ŕ	
	96	119	0,5	0,0037			
dH	96	147	1	0,0052	0,0028	55,8	
	96	157	1,5	0,0052]		
	60	67	0,1	0,0027			
. TT	60	95	0,5	0,0048	0.0021	45 1	
eН	60	122	1 0,0076		0,0021	45,1	
	60 145		1,5	0,0099	1		



Sendo:

Mistura – Identificação da série experimental conforme nomenclatura do artigo.

- **f**_c Resistência à compressão axial do concreto sem confinamento (MPa).
- **f**₀ Tensão axial máxima observada no ensaio (MPa).
- **f**_r Pressão lateral de confinamento aplicada na célula triaxial (MPa).
- ε₀ Deformação axial correspondente à tensão de pico (adimensional).
- ε_c Deformação axial na ruptura (adimensional).
- E_c Módulo de elasticidade inicial do concreto (MPa).

A metodologia adotada neste estudo foi estruturada em três etapas principais:

- 1. **Seleção da base experimental:** utilização dos resultados de Attard e Setunge (1996), que forneceram curvas tensão—deformação de concretos submetidos à compressão uniaxial e triaxial.
- 2. **Modelagem numérica:** simulações no ANSYS (APDL), em regime não linear, utilizando os modelos USERMAT, com base no Código Modelo da *fib* 2010, conforme Lazzari (2016), e Drucker-Prager. As condições de contorno reproduziram os ensaios experimentais, aplicando confinamento lateral constante e carregamento axial por deslocamento imposto.
- 3. **Comparação e análise:** confronto entre resultados experimentais e numéricos por meio de gráficos carga × deformação e diferenças percentuais médias, avaliando a aderência de cada modelo.

As simulações foram conduzidas no **ANSYS (APDL)** em regime não linear (geometria e material), adotando duas descrições constitutivas para o concreto:

- USERMAT utilizado como modelo principal, calibrado com parâmetros de f_{ck}, f_{cm}, f_{ctm}, E_c, coeficiente de Poisson e parâmetros de fissuração;
- Drucker-Prager (DP): usado para comparação, por ser um critério de plasticidade "clássico" para materiais friccionais (sem representação detalhada da fissuração e do amolecimento).

Foi modelado um cubo (unidade representativa de material), com **elementos** SOLID186, malha com tamanho máximo s.mesh = 1, e simetrias impostas nos planos coordenados (X=0, Y=0, Z=0), compatíveis com o arranjo cúbico adotado no script. O confinamento lateral foi aplicado como pressão constante nas faces verticais do modelo, respeitando os níveis de pressão relativos a cada valor de fr considerado, conforme adotado nos estudos de referência. Essa pressão foi implementada como carga de superfície normal às faces, sendo mantida constante durante a etapa de aplicação do carregamento axial.

O carregamento axial foi imposto por deslocamento controlado na face superior do modelo (UZ), permitindo o avanço da análise até a região pós-pico da curva carga—deslocamento. Esse método



assegura maior estabilidade numérica em análises não lineares, especialmente quando há amolecimento do material. O controle e a convergência da solução foram garantidos por meio de *time stepping* automático, busca linear (*line search*) quando necessário, e ajustes de tolerância em força e deslocamento para manter o avanço estável no regime pós-pico.

A Figura 1(a) apresenta a aplicação da pressão lateral (confinamento), enquanto 1(b) mostra a distribuição da pressão normal nas faces do modelo. Já a 1(c) ilustra o campo de deslocamentos verticais resultantes da aplicação do carregamento axial.

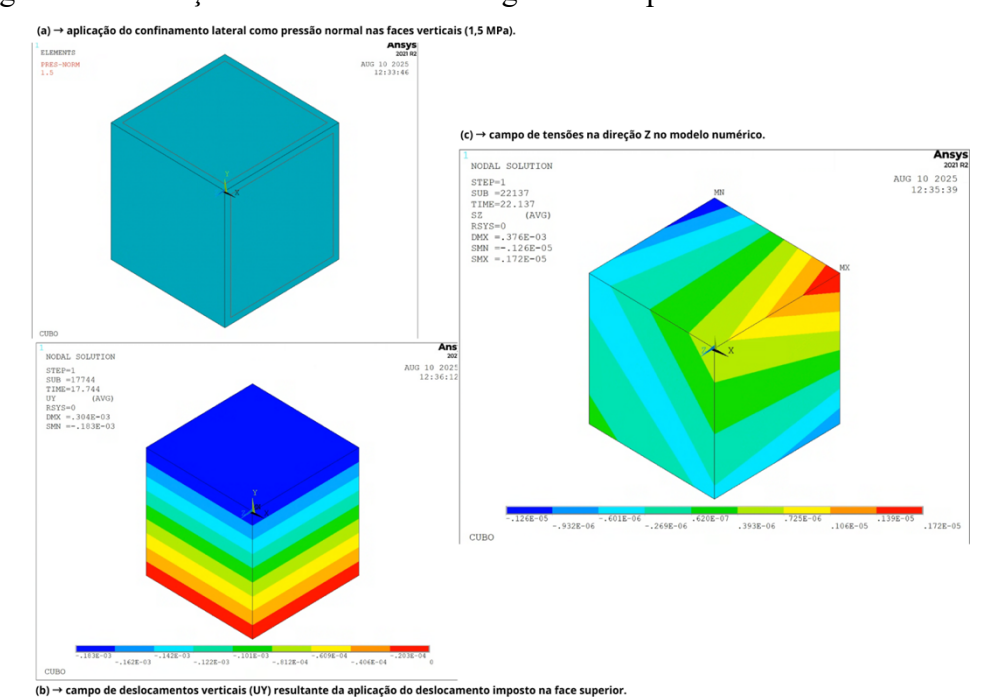


Figura 1 – Condições de contorno e carregamentos aplicados no modelo numérico:

Para a análise numérica, foram adotados dois modelos constitutivos para o concreto: **USERMAT** e **Drucker–Prager (DP-CONCRETE)**. A USERMAT foi configurada a partir das recomendações do CEB-FIP MC90, incorporando propriedades elásticas, efeitos de fissuração, retração e fluência. Já o modelo Drucker–Prager foi utilizado como critério comparativo, representando a plasticidade clássica do concreto. Os parâmetros adotados para o modelo **USERMAT** estão apresentados na Tabela 2, enquanto os parâmetros referentes ao modelo Drucker–Prager encontram-se na Tabela 3.



Tabela 2– Parâmetros adotados para o modelo USERMAT

Parâmetro	Descrição	Valor adotado	Unidade
temperatura	Temperatura média de referência	25	$^{\circ}\mathrm{C}$
nurev	Coeficiente de Poisson do concreto	0,3	
S	Coeficiente dependente do tipo de concreto (CEB-MC90, eq. 2.1-54)	0,2	_
rh	Umidade relativa do ambiente	70	%
betasc	Coeficiente dependente do tipo de cimento (RS)	8	
alpha	Efeito do tipo de cimento durante a cura (RS)	1	
fck	Resistência característica à compressão	5,2	kN/cm ²
hf	Espessura fictícia calculada como 2Ac/u	6,7	cm
ti	Idade inicial do concreto	0	dias
ts	Idade do concreto no início da secagem	28	dias
t0	Idade do concreto no início do carregamento	28	dias
tinf	Tempo final da análise	500	dias
ndec	Pontos por década para cálculo da cadeia de Kelvin	10	
ktime	Tempo da análise para saída de dados	30	dias
kelemid	Identificação do elemento para saída	1	
kkDomIntPt	Identificação do ponto de integração	2	
Liga fluencia	Ativação (1) ou desativação (0) da fluência	0	
Liga retracao	Ativação (1) ou desativação (0) da retração	0	_
Liga fissura	Ativação (1) ou desativação (0) da fissuração	1	
Desliga tempo	Tempo máximo para considerar fluência	501	dias
texist	Idade do concreto no lançamento do balanço sucessivo	0	dias



Tabela 3 – Parâmetros adotados para o modelo Drucker–Prager

Parâmetro	Valor adotado	Unidade	Descrição
Ec	20000	GPa	Módulo de elasticidade (MP, EX)
vc (vc)	0,2		Coeficiente de Poisson (MP, NUXY)
Rc	30000	MPa	Resistência à compressão (TBDATA no DP)
Rt	3000	MPa	Resistência à tração (TBDATA no DP)
Rb	36000	MPa	Resistência biaxial (TBDATA no DP)
delt	0,25		Dilatância em tração (TB,DILA)
delc	1		Dilatância em compressão (TB,DILA)
kappa_cm	(calculado)		Encruamento isotrópico (TB,HSD6)
kappa_cr	(calculado)		Amolecimento relativo inicial (TB,HSD6)
omega_ci	0,33		Amolecimento relativo residual (TB,HSD6)
omega_cr	0,1		Softening relativo residual (TB,HSD6)
kappa_tr	0,0005	_	Transição de endurecimento (TB,HSD6)
omega_tr	0,2	—	Transição de endurecimento (TB,HSD6)

A comparação dos resultados foi realizada para cada valor de f_{ck} , por meio dos gráficos carga versus deformação obtidos nos modelos numéricos e da Tabela 4, que apresenta as diferenças percentuais entre os resultados experimentais disponíveis e as simulações. Cabe destacar que não foi possível reproduzir as curvas experimentais completas devido à limitação de dados no estudo de referência.

 $Gr\'{a}fico~1-fck=60~MPa-Modelo~USERMAT\times Modelo~DP$

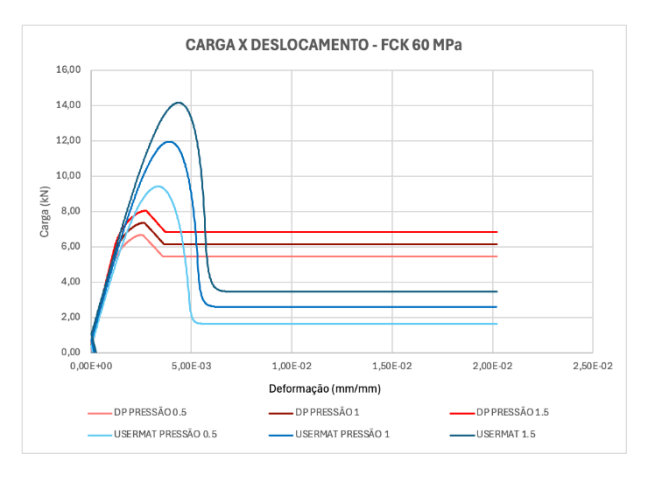
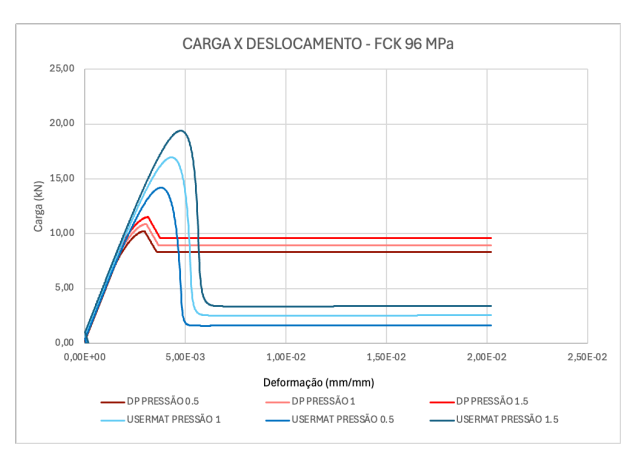


Gráfico 2 – fck = 96 MPa – Modelo USERMAT × Modelo DP





 $Gráfico 3 - fck = 100 MPa - Modelo USERMAT \times Modelo DP$

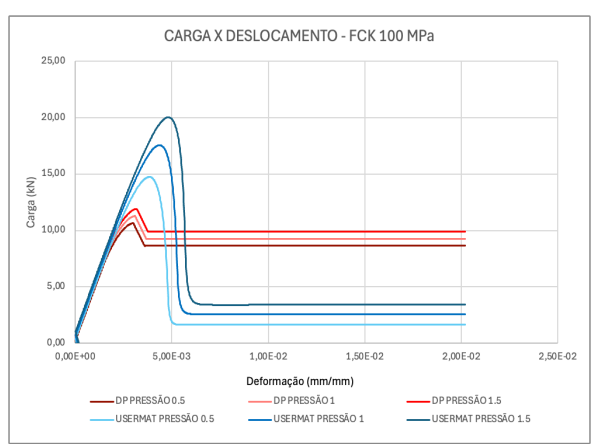
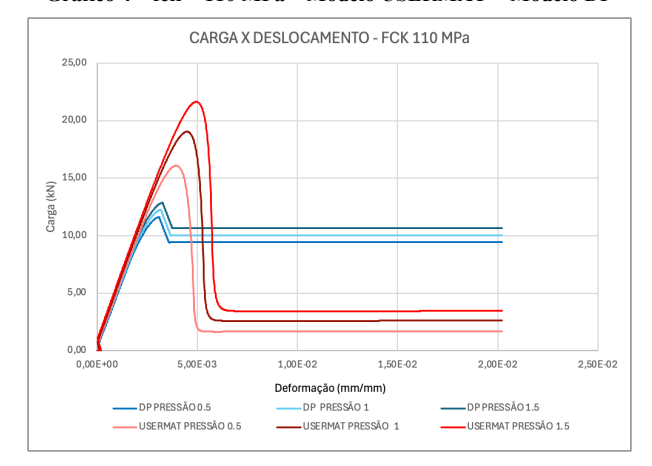


Gráfico 4 – fck = 110 MPa – Modelo USERMAT × Modelo DP



 $Gráfico 5 - fck = 118 MPa - Modelo USERMAT \times Modelo DP$

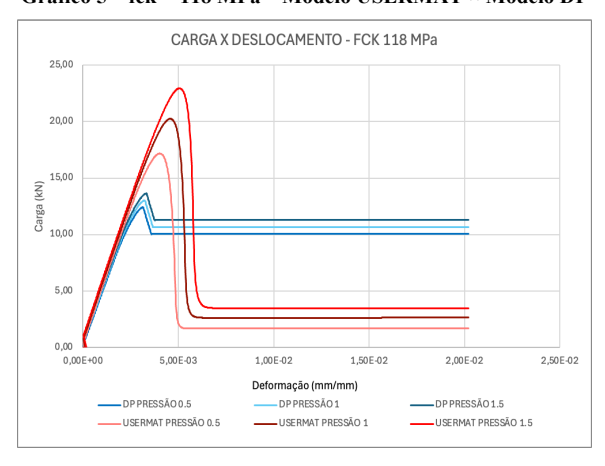


Gráfico 7 – fck = 120 MPa – Modelo USERMAT × Modelo DP

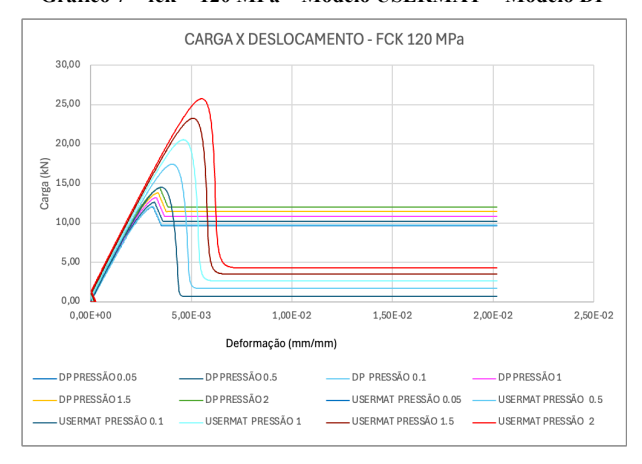


Gráfico 8 – fck = 126 MPa – Modelo USERMAT × Modelo DP

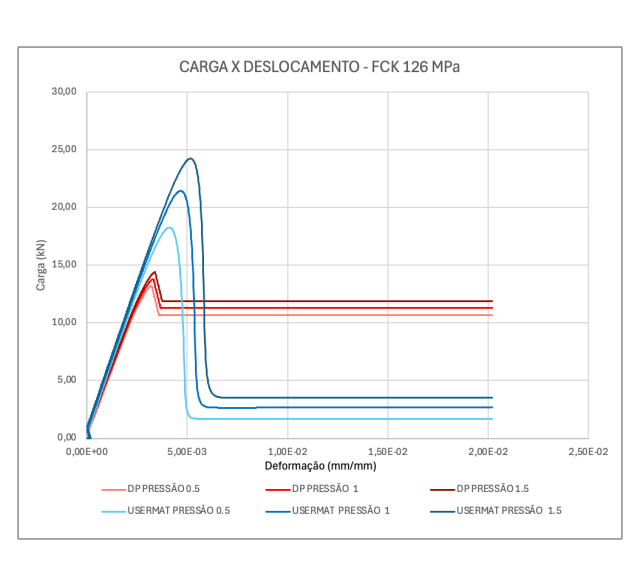


Gráfico 9- fck = 132 MPa - Modelo USERMAT × Modelo DP

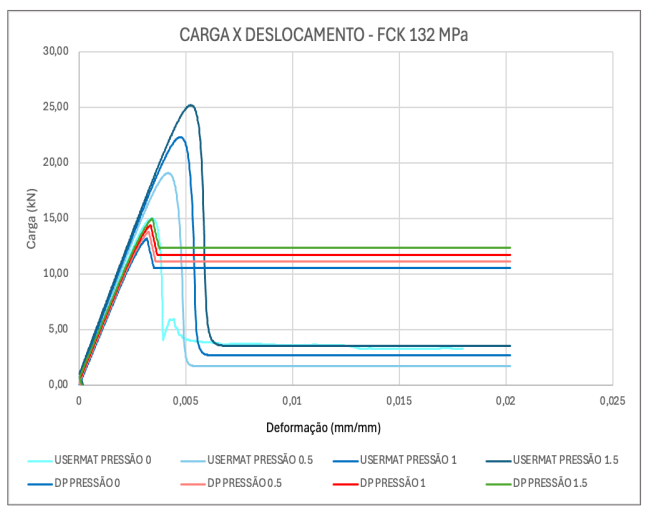




Tabela 4 – Resultados Comparativos – Parâmetros Mecânicos Obtidos Experimentalmente e por Modelos Numéricos (USERMAT e Drucker–Prager)"

Mistura	fr,(kN/cm2)	f0	f0 USERMAT		eo (‰)	eo Usermat (‰)	DIFERENÇA	f0 DP (kN/cm2)	DIFERENÇA	eo DP (‰)	DIFERENÇA	Ec,MI
		(kN/cm2)	(kN/cm2)	(%)	2.00	2 202 12	(%)	12.0407	(%)	2.0040	(%)	
aR	0	12	13,5299	13%	3,00	3,29342	10%	12,0607	1%	3,0848	3%	
	0,05	12,5	13,9546	12%	2,60	3,3777	30%	12,0900	-3%	3,1650	22%	55,7
	0,1	12,8	14,3677	12%	2,90	3,45597	19%	13,8342	8%	3,3456	15%	
	0,5	16,5	17,2946	5%	3,80	4,00401	5%	14,6000	-12%	3,4200	-10%	
	1	19,2	20,3844	6%	5,30	4,58248	-14%	15,6000	-19%	3,5000	-34%	
	1,5	22	23,0989	5%	6,00	5,0829	-15%	16,5500	-25%	3,5800	-40%	
	2	23,4	25,5654	9%	8,00	5,53529	-31%	17,3000	-26%	3,6500	-54%	
					0,00	0				0,0000		
	0	12	13,5299	13%	2,80	3,29342	18%	12,0607	1%	3,0848	10%	52,8
bR	0,5	16,8	17,2946	3%	4,20	4,00401	-5%	12,0900	-28%	3,1650	-25%	
UK	1	18,7	20,3844	9%	4,80	4,58248	-5%	12,6111	-33%	3,1650	-34%	
	1,5	21,1	23,0989	9%	5,70	5,0829	-11%	13,8342	-34%	3,3456	-41%	
					0,00	0						
	0	11	12,3356	12%	2,80	3,20313	14%	11,4500	4%	2,8784	3%	
_	0,5	15	16,0944	7%	3,50	3,94778	13%	13,0144	-13%	2,3795	-32%	
cR	1	17,5	19,0487	9%	4,40	4,49	2%	14,5657	-17%	3,7698	-14%	55,4
	1,5	19,2	21,6431	13%	6,00	4,95224	-17%	15,9314	-17%	4,3650	-27%	
	-,0	,-	,		0,00	0	72		2,,,,	-,		
	0	10	11,1375	11%	2,70	3,1008	15%	10,2503	3%	2,6000	-4%	
	0,1	10,6	11,9073	12%	3,10	3,2573	5%	10,5083	-1%	2,7090	-13%	
dR	0,1	12,1	14,7412	22%	3,60	3,82731	6%	11,5403	-1%	2,7090	-20%	52,9
arc						-						
	1	14,4	17,5571	22%	4,70	4,36953	-7%	12,8035	-11%	3,7655	-20%	
	1,5	16,5	20,0276	21%	5,80	4,81156	-17%	14,1143	-14%	4,2927	-26%	
					0,00	0	0%	10.2415		0.4204		
	0	13,2	15	14%	3,40	3,41382	0%	19,2645	46%	0,4201	-88%	49,3
aB	0,5	18	19,09	6%	5,00	4,16868	-17%	19,4833	8%	0,3801	-92%	
	1	20	22,3463	12%	5,80	4,73117	-18%	19,6427	-2%	0,3401	-94%	
	1,5	22,2	25,2051	14%	7,80	5,23367	-33%	19,9210	-10%	3,7470	-52%	
					0,00	0						
	0	12,6	14,25	13%	3,40	3,35362	-1%	11,2916	-10%	2,9655	-13%	49,4
dB	0,5	16,2	18,2711	13%	5,00	4,10843	-18%	12,2016	-25%	3,0999	-38%	
ub	1	18,6	21,4485	15%	7,10	4,67089	-34%	12,9405	-30%	3,2064	-55%	
	1,5	21,1	24,2423	15%	8,90	5,15326	-42%	14,0216	-34%	3,3689	-62%	
					0,00	0	0%					
	0	11,8	13,2897	13%	2,80	3,27536	17%	11,2200	-5%	2,9400	5%	
	0,5	15,4	17,1791	12%	3,80	4,0281	6%	12,4129	-19%	3,1449	-17%	
aH	1	17,3	20,2476	17%	4,90	4,59052	-6%	13,0283	-25%	3,2453	-34%	57,8
	1,5	20,1	22,9447	14%	6,20	5,05274	-19%	13,6413	-32%	3,3255	-46%	
	1,5	20,1	22,9447	1470		3,03274	-1370	13,0413	-3270	3,3233	-4070	
					0,00							
	0	11	12,3356	12%	2,80	3,20313	14%	11,4500	4%	2,8784	3%	58,7
bH	0,5	15,3	16,0944	5%	4,10	3,94778	-4%	13,0144	-15%	2,8784	-30%	
	1	16,4	19,0487	16%	5,50	4,49	-18%	14,5657	-11%	3,7698	-31%	
	1,5	18,5	21,6431	17%	5,90	4,95224	-16%	15,9314	-14%	4,3650	-26%	
	-,-	,-	,		0,00	-,	-374			-,		
	0	10	11,1375	11%	2,60	3,1008	19%	10,2503	3%	2,6000	0%	
	0,5	12,7	14,7412	16%	3,90	3,82731	-2%	11,5403	-9%	2,8735	-26%	54,6
cН	1	15,3	17,5571	15%	5,20	4,36953	-16%	12,8035	-16%	3,7655	-28%	
	1,5	16,9	14,7412	-13%	7,50	3,82731	-49%	14,1143	-16%	4,2927	-43%	
	1,5	10,9	14,7412	-1370		3,02/31	-4370	14,1143	-1070	4,2921	-4370	
		0.1	10.6500	4454	0,00	2.05255	061	10.0500	4 ***	2.7200	004	
	0	9,6	10,6509	11%	2,80	3,05266	9%	10,9500	14%	2,7200	-3%	55,8
dH	0,5	11,9	14,1993	19%	3,70	3,78716	2%	14,6875	23%	2,8669	-23%	
	1	14,7	16,9649	15%	5,20	4,30927	-17%	16,3179	11%	3,9198	-25%	
	1,5	15,7	19,3897	24%	5,20	4,77136	-8%	17,7475	13%	4,5443	-13%	
					0,00					0,0000		
	0	6	6,06	1%	2,10	2,5352	21%	6,0500	1%	2,4500	17%	
	0,1	6,7	6,8	1%	2,70	2,7097	0%	6,8500	2%	2,6200	-3%	
eh	0,5	9,8	9,28	-5%	4,80	3,2754	-32%	13,2285	35%	3,2812	-32%	45,
	1	12,2	11,8	-3%	7,60	3,8655	-49%	14,9186	22%	4,3275	-43%	,.
	1,5	14,5	13,99	-4%	9,90							

∆% positivo → valor experimental > numérico ∆% negativo → valor experimental < numérico



Conclusão da Comparação dos Resultados

A análise comparativa entre os modelos numéricos USERMAT e Drucker-Prager (DP), confrontados com os resultados experimentais, evidenciou que o modelo USERMAT apresentou, de forma consistente, maior proximidade dos valores experimentais de carga última em praticamente todos os valores de resistência à compressão (f_{ck}) avaliados.

Para concretos de alta resistência ($f_{ck} \ge 110$ MPa), a aproximação do USERMAT foi ainda mais significativa, com diferenças percentuais reduzidas em relação ao experimental, enquanto o modelo DP apresentou maior dispersão, tendendo a subestimar ou superestimar a capacidade resistente. Já para concretos de média e baixa resistência, embora ambos os modelos tenham mostrado desvios mais pronunciados, o USERMAT manteve desempenho superior ao DP na maioria dos casos.

Essa tendência foi observada de forma clara nos gráficos carga \times deformação, onde o formato da curva obtida pelo USERMAT se aproximou mais do comportamento experimental, especialmente na região pós-pico. A Tabela 4 reforça esses resultados, quantificando as diferenças para cada f_{ck} e nível de confinamento, confirmando o melhor ajuste do USERMAT frente ao DP.

Referências

ANSYS Inc. ANSYS® Academic Research Mechanical, Release 2023 R1. Canonsburg, PA, 2023.

ATTARD, M.; SETUNGE, L. Stress-strain relationship of confined and unconfined concrete. *Materials and Structures*, v. 29, p. 436–444, 1996. DOI: 10.1007/BF02486341.

FÉDÉRATION INTERNATIONALE DU BÉTON (FIB). fib Model Code for Concrete Structures 2010. Berlin, Germany, 2013.

LAZZARI, P. M. Simulação Numérica das Etapas Construtivas de Pontes Estaiadas através do Método dos Elementos Finitos. Tese (Doutorado) — Universidade Federal do Rio Grande do Sul, Porto Alegre, 2016.